

Лекция 12.

Приближение Френеля. Дифракция Френеля.

В соответствии с принципом Гюйгенса-Френеля суммирование вторичных волн в произвольной точке наблюдения M_1 производится с помощью *интеграла Гюйгенса-Френеля*, который имеет вид:

$$\varepsilon(M_1) = \int_{\Sigma} \varepsilon_0(M) \frac{\exp(-ik\rho)}{\rho} K(\varphi) d\sigma. \quad (3.1)$$

Здесь $\varepsilon(M_1)$ и $\varepsilon_0(M)$, соответственно, амплитуды суммарного волнового поля в точке наблюдения M_1 и поля элементарного вторичного источника площадью $d\sigma$, расположенного в произвольной точке M открываемого объектом волнового фронта падающей волны; второй множитель в подынтегральном выражении описывает пространственную часть сферической волны, излучаемой элементарным источником, а множитель $K(\varphi)$ учитывает, что вклад элемента $d\sigma$ в суммарное поле зависит от угла φ между нормалью к площади элемента и направлением радиус - вектора $\vec{\rho}$ в точку наблюдения (см. рис.3.1):

$$K(\varphi) = \frac{i}{\lambda} \left(\frac{1 + \cos \varphi}{2} \right). \quad (3.1)$$

Интегрирование в выражении (3.1) производится по всем элементам светового фронта суммарной площадью Σ , открываемым объектом. Запишем формулу (3.1) в координатном представлении предполагая, что **углы дифракции малы** $\varphi \ll 1$, т.е. $K(\varphi) \approx i/\lambda$, и, следовательно, амплитуда поля в интеграле (3.1) не зависит от положения элемента светового фронта:

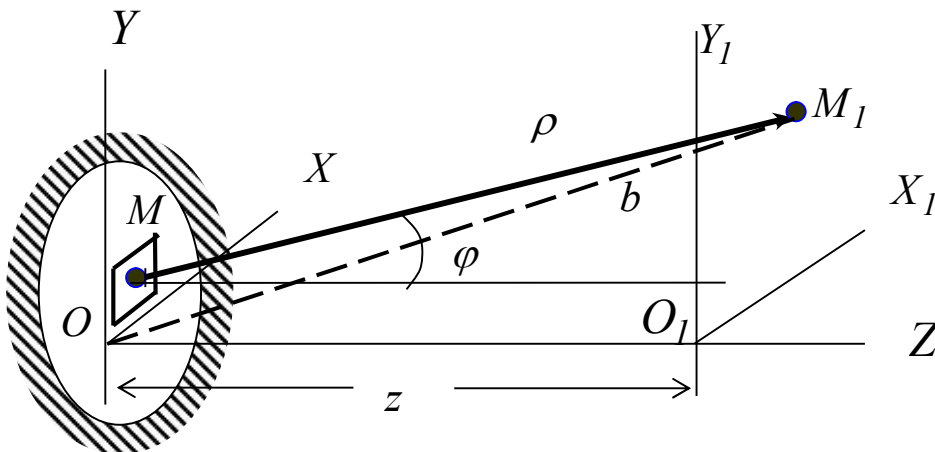


Рис.3.1. К построению дифракционной картины

$$\varepsilon(x_1, y_1, z) = \frac{i}{\lambda} \int_{-\infty}^{\infty} \int_{-\infty}^{\infty} \varepsilon_0(x, y) \frac{\exp(-ik\rho)}{\rho} dx dy, \quad (3.2)$$

где $\rho = \left(z^2 + (x_1 - x)^2 + (y_1 - y)^2 \right)^{1/2}$.

Упростим формулу (3.2), полагая, что в *приближении Френеля* дифракционное уширение изображения мало вследствие малости углов дифракции:

$$\varphi_x \approx (x_1 - x)/z \ll 1, \quad \varphi_y \approx (y_1 - y)/z \ll 1.$$

Для этого случая в быстро осциллирующем на длине волны показателе экспоненты представим радиус-вектор ρ в приближенном виде, сохранив члены, *квадратичные* по углам дифракции φ_x^2, φ_y^2 :

$$\rho \approx \left(z + \frac{(x_1 - x)^2 + (y_1 - y)^2}{2z} \right), \quad (3.3)$$

а в медленно меняющемся при перемещении по области интегрирования знаменателе подинтегрального выражения полагаем $\rho \approx z = const$. С помощью полученного *интеграла Френеля*

$$\varepsilon(x_1, y_1, z) = \frac{i}{\lambda z} e^{-ikz} \int_{-\infty}^{\infty} \int_{-\infty}^{\infty} \varepsilon_0(x, y) \exp\left(-ik \frac{(x_1 - x)^2 + (y_1 - y)^2}{2z}\right) dx dy \quad (3.4)$$

можно построить картину дифракции светового фронта на простых объектах: отверстия, щели, краю экрана. При этом показатель экспоненты под интегралом может принимать любые по модулю значения, как больше, так и меньше единицы.

Приближение Фраунгофера.

$N_F \ll 1$. В этом случае, называемом *дифракцией Фраунгофера*, объект открывает небольшую часть первой зоны Френеля, т.е. согласно формуле (3.6), дифракционная картина рассматривается на больших расстояниях от объекта (в *дальней зоне*). Поэтому, в отличие от предыдущих случаев, размер изображения даже при малых углах дифракции существенно превосходит размер объекта (см. рис.3.6в), т.е. здесь потеряна информация уже и о размере объекта. Разложение радиус-вектора ρ теперь проведем следующим образом:

$$\rho = \left(z^2 + (x_1 - x)^2 + (y_1 - y)^2 \right)^{1/2} = \left(z^2 + x_1^2 + y_1^2 + (x^2 - 2xx_1) + (y^2 - 2yy_1) \right)^{1/2} =$$

$$= \left(b^2 + (x^2 - 2xx_1) + (y^2 - 2yy_1) \right)^{1/2} \approx b \left(1 - \frac{xx_1}{b^2} - \frac{yy_1}{b^2} \right)$$

В этом разложении, мы пренебрегли малым членом разложения пропорциональным $(x/b)^2 + (y/b)^2$, т.е. теперь, в отличие от приближения Френеля, ограничились только *линейными* членами в разложении ρ по малому параметру - отношению размера объекта к расстоянию до него. Интеграл (3.4) тогда имеет вид

$$\varepsilon(x_1, y_1) = \frac{i}{\lambda b} e^{-ikb} \int_{-\infty}^{\infty} \varepsilon_0(x, y) \exp \left\{ \frac{ik}{b} xx_1 + \frac{ik}{b} yy_1 \right\} dx dy. \quad (3.7)$$

ДИФРАКЦИЯ ФРАУНГОФЕРА КАК ПРОСТРАНСТВЕННОЕ ПРЕОБРАЗОВАНИЕ ФУРЬЕ ФУНКЦИИ ПРОПУСКАНИЯ ОБЪЕКТА

Из формулы (3.7) видно, что в используемом приближении дифракционная картина зависит лишь от угловой координаты точки наблюдения $x_1/b = \sin \varphi_x$ и $y_1/b = \sin \varphi_y$, с другой стороны проекции вектора $k_x = k \sin \varphi_x$, $k_y = k \sin \varphi_y$.

Рассмотрим выражение

$$\varepsilon(k_x, k_y) = A \int_{-\infty}^{\infty} \varepsilon_0(x, y) \exp i \{ k_x x + k_y y \} dx dy. \quad (3.8)$$

Интеграл (3.8) с математической точки зрения представляет собой пространственное преобразование Фурье амплитуды поля исходного пучка $\varepsilon_0(x, y)$ по поперечным компонентам волнового вектора $k_x = k \sin \varphi_x$, $k_y = k \sin \varphi_y$ направленного из точки O в точку наблюдения поля M_1 . Здесь введено обозначение $A = i \exp(-ikb) / \lambda b$. Выражение (3.8) показывает, что дифракция Фраунгофера на каком-либо объекте имеет смысл пространственного *разложения на плоские волны* светового пучка, ограниченного этим объектом. Полученная дифракционная картина представляет собой *Фурье-образ* (спектр пространственных частот) поля волны, прошедшей через объект.

Удобной характеристикой объекта является функция пропускания $T(x, y)$, которая задается его поперечной структурой и определяется как отношение комплексной амплитуды прошедшей волны, которую будем теперь обозначать как $\varepsilon_1(\mathbf{x}, \mathbf{y})$, к амплитуде падающей волны ε_0 :

$$T(x, y) = \frac{\varepsilon_1(x, y)}{\varepsilon_0}.$$

Двумерный интеграл вида (3.8) в случае однородного падающего потока можно тогда рассматривать и как Фурье-преобразование функции пропускания объекта. Рассмотрим примеры построения Фурье-спектра функции пропускания для простейших объектов.

$$\varepsilon(k_x, k_y) = A \int_{-\infty}^{\infty} T(x, y) \exp i\{k_x x + k_y y\} dx dy$$

1) **Прямоугольная щель.** Функция пропускания щели имеет вид:

$$T(x) = \begin{cases} 1, & \text{при } |x| \leq d_x/2 \\ 0, & \text{вне этой области} \end{cases}.$$

Распределение амплитуды светового поля в плоскости щели $\varepsilon_1(x)$ с точностью до константы совпадает с этим выражением. Подставив его в интеграл типа (3.8) по двум координатам и выполнив интегрирование с учетом соотношения (3.7) находим амплитуду светового поля в дальней зоне:

$$\varepsilon(k_x) = d_x \frac{\sin(k_x d_x/2)}{k_x d_x/2}$$

или

$$\varepsilon(\varphi_x) = d_x \operatorname{sinc}\left(\frac{\pi d_x \sin \varphi_x}{\lambda}\right), \quad (3.10)$$

где введено обозначение $\operatorname{sinc}(x) = \sin(x)/x$. Распределение интенсивности светового поля пропорционально квадрату этого выражения, а его сечение вдоль оси $\sin \varphi_x$ изображено на рис. 3.7.

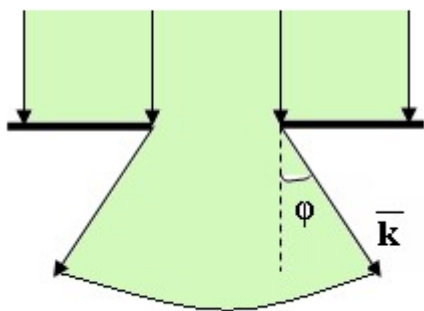
Из формул (3.9) найдем угловую ширину главного (нулевого) максимума дифракционной картины по одной из осей $\Delta \varphi_x \approx 2\lambda/d_x$, а ширину по оси k_x определим из условия $\Delta k_x \cdot d_x = 4\pi$. Поскольку амплитуда первого максимума интенсивности составляет около 4% амплитуды нулевого, почти весь световой поток сосредоточен в пределах именно нулевого максимума, и

полученные формулы определяют фактически ширину спектра по углу φ_x или оси k_x

Рассмотрим физический смысл этого выражения с другой точки зрения. Для этого рассмотрим световой поток как поток квантов света (фотонов). Умножив на \hbar обе части этого равенства, получим

$$\Delta p_x \cdot d_x = 2\hbar = const,$$

где Δp_x - ширина спектра импульсов потока фотонов, прошедших щель шириной d_x . Полученное равенство можно рассматривать как сохранение при произвольном изменении ширины щели, произведения размера потока фотонов в координатном пространстве на его “размер” в импульсном пространстве, т.е. фазового объема потока. Этот вывод является иллюстрацией фундаментального физического *принципа неопределенности*, справедливого не только для квантов электромагнитного поля, но и для любых других



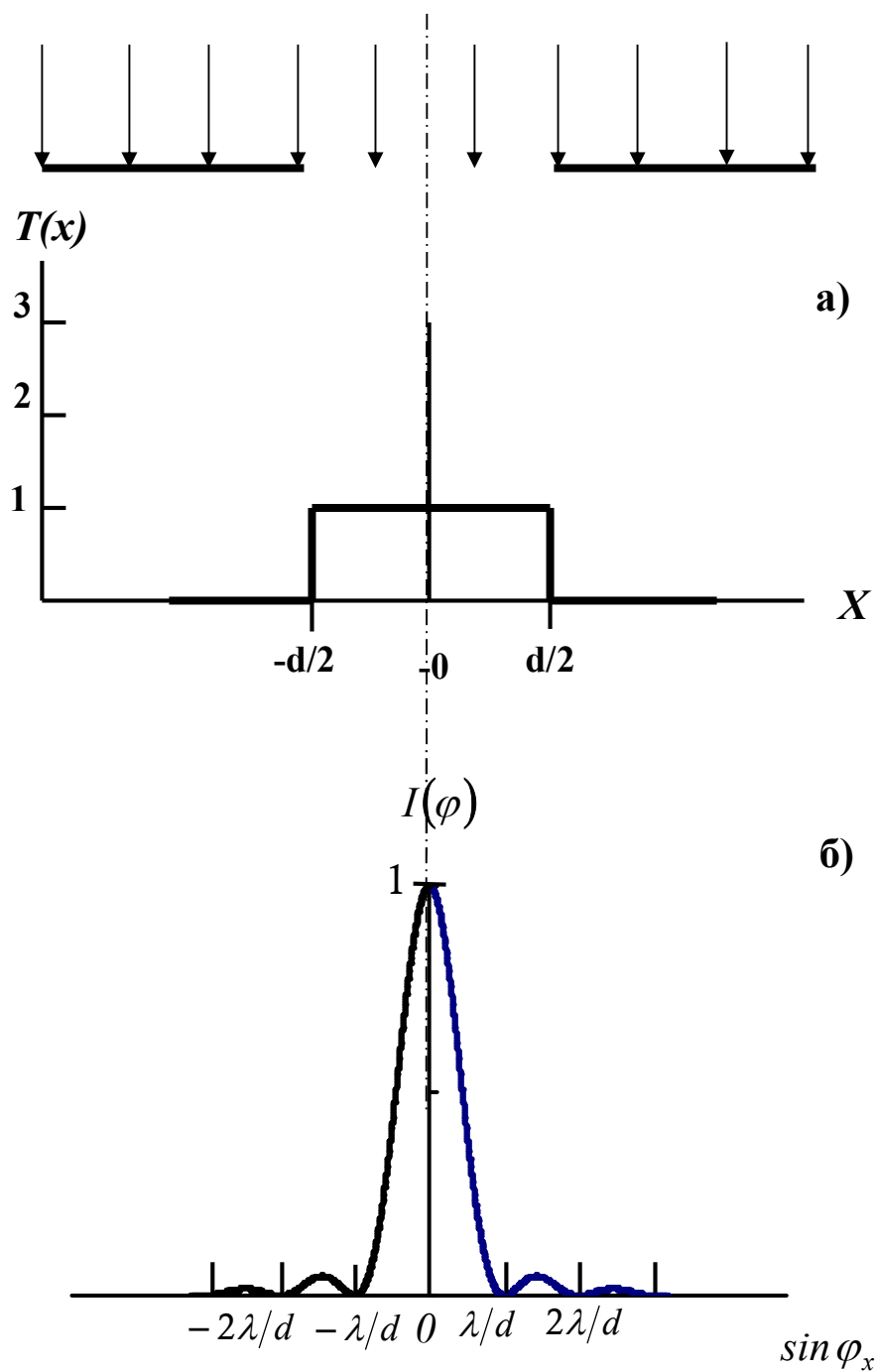


Рис.3.7. Функция пропускания одномерной щели шириной d по оси X - (а) и соответствующее распределение интенсивности на картине дифракции (Фраунгофера) в дальней зоне - (б).

объектов, обладающих волновыми свойствами (например, электронов, протонов и др.).

2) **Круглое отверстие.** Функция пропускания для отверстия радиуса R имеет вид:

$$T(r) = \begin{cases} 1, & \text{при } r \leq R \\ 0, & \text{при } r > R \end{cases}.$$

Действуя так же, как в предыдущем пункте, приходим к двумерному интегралу вида (3.8) в полярных координатах (r, ϕ) , который после интегрирования по углу принимает вид:

$$\varepsilon(k_r) = 2\pi A \int_0^R J_0(k_r r) dr, \quad (3.9)'$$

где $J_0(x)$ - специальная функция (Бесселя) нулевого порядка. Этот интеграл выражается через функцию Бесселя первого порядка. Качественно полученная дифракционная картина аналогична описанной выше, и представляет собой центральное яркое пятно круглой формы, окруженное системой концентрических темных и светлых колец, соответствующих последовательным минимумам и максимумам интенсивности. Угловой размер центрального максимума (пятна Эйри), где сосредоточен, как и в предыдущем случае, практически весь световой поток, равен

$$\Delta\varphi_r \approx 1.22 \frac{\lambda}{R}. \quad (3.9)''$$

3) **Дифракционная решетка.** Для случая прямоугольной (одномерной) амплитудной решетки функция пропускания имеет вид (см. рис.3.8):

$$T(x) = \sum_{n=0}^N t(x - x_n),$$

где N – число штрихов, $x_n = nd$ - координата левой границы n -го штриха, $t(x - x_n)$ - функция пропускания n -го штриха:

$$t(x - x_n) = \begin{cases} 0, & \text{при } x - x_n \leq 0 \\ 1, & \text{при } 0 < x - x_n \leq l \\ 0, & \text{при } l < x - x_n \leq d \end{cases}$$

Из рис. 3.8 видно, что функция пропускания решетки характеризуется тремя пространственными масштабами: шириной штриха l , периодом d и полным размером $D = Nd$. При интегрировании функции пропускания n -ого штриха можно заметить, что фаза плоской волны $ik_x(x - nd)$ состоит из двух слагаемых: первое меняется непрерывно на ширине штриха, второе – дискретно, с шагом d , при переходе от одного штриха к другому.

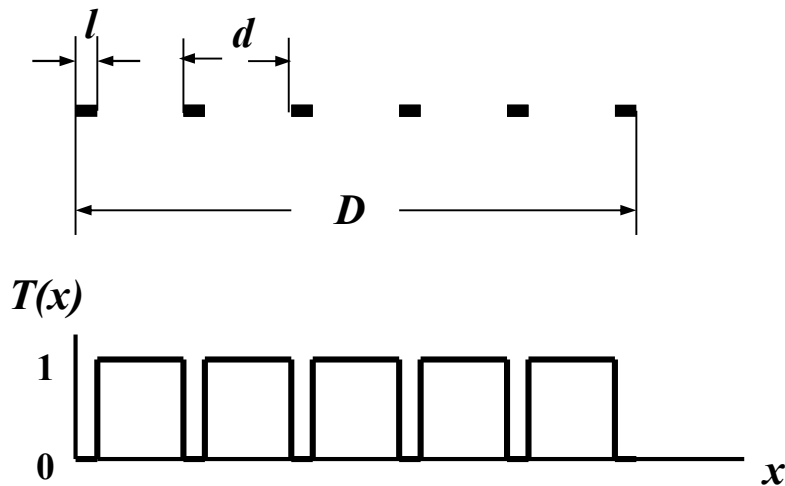


Рис.3.8. Функция пропускания одномерной дифракционной решетки

В соответствии с этим, распределение амплитуды светового поля дифракционной картины в дальней зоне имеет вид произведения двух функций:

$$\varepsilon(k_x) = \varepsilon_I(k_x) f_N(k_x),$$

где первый множитель описывает дифракцию на отдельном штрихе и аналогичен выражению, полученному в предыдущем пункте:

$$\varepsilon_I = l \operatorname{sinc}(k_x l/2).$$

Второй множитель возникает вследствие суммирования (интерференции) волн, испускаемых штрихами как точечными источниками с координатами x_n , и вычисляется как сумма N членов геометрической прогрессии:

$$f_N(k_x) = \sum_{n=1}^N A_0 \exp(ik_x nd) = A_0 \frac{1 - \exp(iNk_x d)}{1 - \exp(ik_x d)}.$$

Учитывая, что $k_x = k \sin \varphi$ и переходя к интенсивностям светового поля согласно формуле:

$$I(\varphi) = \frac{c}{8\pi} |\varepsilon(\varphi)|^2,$$

получим

$$I(\varphi) = I_m F_1(\varphi) F_N(\varphi). \quad (3.10)$$

Здесь введены обозначения:

$$I_m = \frac{cl^2 A_0^2}{8\pi\lambda b},$$

$$F_1(\varphi) = \text{sinc}^2\left(\frac{1}{2} kl \sin \varphi\right), \quad (3.11)$$

$$F_N(\varphi) = \left[\frac{\sin\left(\frac{1}{2} Nkd \sin \varphi\right)}{\sin\left(\frac{1}{2} kd \sin \varphi\right)} \right]^2 \quad (3.12)$$

Вид функций $F_1(\varphi)$, $F_2(\varphi)$, $I(\varphi)$ показан на рис.(3.9). Из рисунка следует, что в структуре дифракционной картины наблюдаются три характерных угловых масштаба:

1) **Расстояние** между соседними главными максимумами $\delta(\sin \varphi)_d$, Оно находится из условия, что распространяющиеся в направлении главных максимумов φ_m волны, которые излучаются точками решетки, разнесенными на период d , усиливают друг друга, т.е. их разность фаз кратна 2π : $kd \sin \varphi_m = 2\pi m$, или $\sin \varphi_m = m\lambda / d$ и $\delta(\sin \varphi)_d \approx \delta\varphi_d = \lambda/d$. Здесь

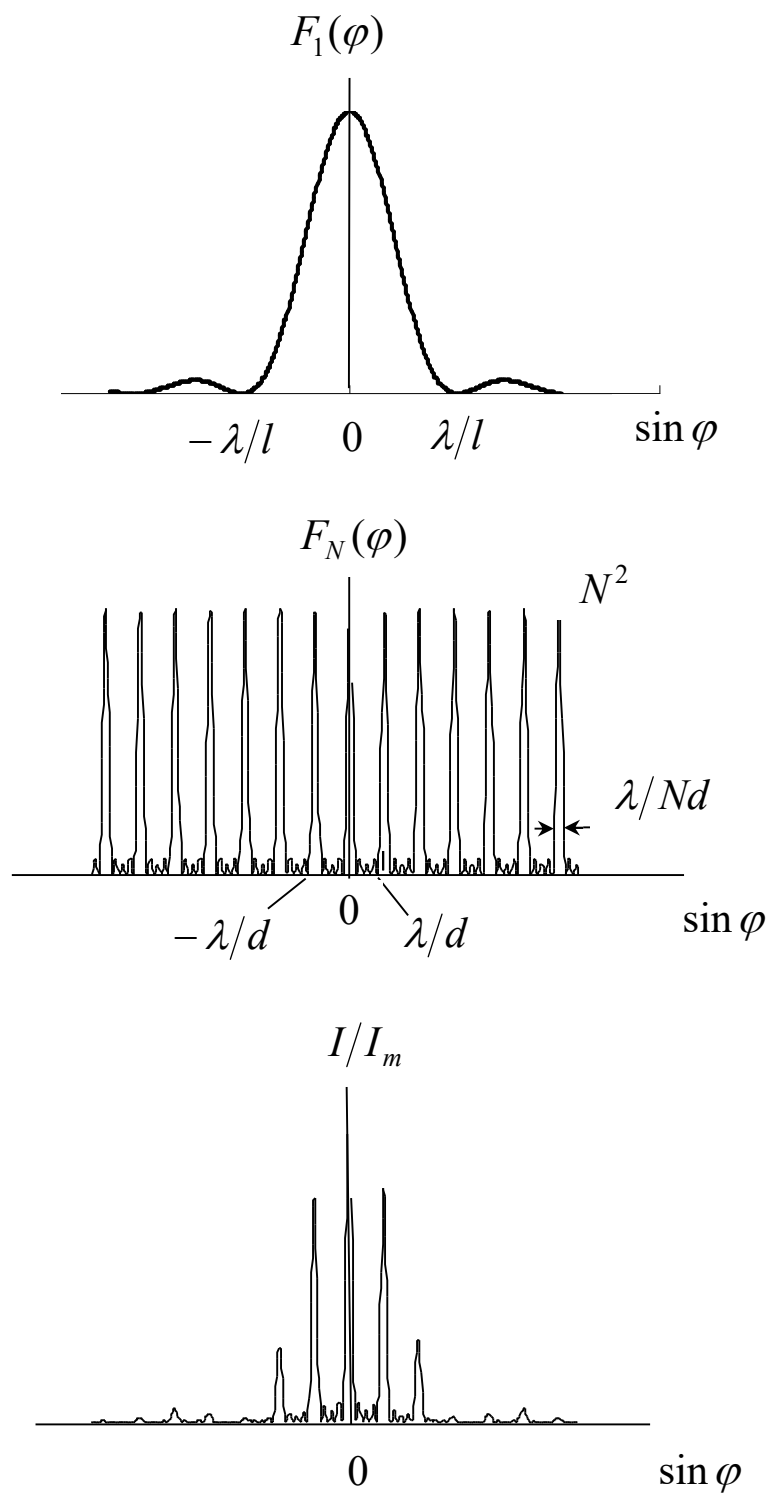


Рис. 3.9. Картина дифракции на одномерной решетке

$m = 0, \pm 1, \pm 2, \dots \pm m_{\max}$, а максимальный порядок дифракции m_{\max} определяется неравенством $|m_{\max}| \leq d/\lambda$. Из формулы (3.12) видно, что для этих направлений $F_N = N^2$, т.е. интенсивность суммарного светового поля в главных максимумах действительно возрастает в N^2 раз по сравнению с полем одного штриха.

2) **Ширина главных максимумов** $\delta(\sin \varphi)_D$, которая для m -ого максимума находится из условия, что под углом $\varphi_m + \delta\varphi$ наблюдается ближайший минимум, т.е., согласно формуле (3.12): $Nkd \sin(\varphi_m + \delta\varphi) = 2\pi$, или $\delta_D(\sin \varphi) \approx \delta\varphi_D = \lambda / Nd = \lambda / D$.

3) **Ширина всей картины** $\delta_l(\sin \varphi)$, определяемая характерной шириной функции $F_1(\varphi)$, т.е. условием $kl \sin \varphi = \pm 2\pi$. Отсюда $\delta_l(\sin \varphi) \approx \delta\varphi_l = \lambda / l$.

Этим трем масштабам ($\delta\varphi_d$, $\delta\varphi_D$, $\delta\varphi_l$) в дифракционной картине, представляющей собой Фурье – спектр функции пропускания по переменной $k_x = k \sin \varphi$, соответствуют три пространственных масштаба в самой функции $T(x)$: d , D , l , причем, как видно из формул для $\delta\varphi$, в соответствии с общими свойствами Фурье-преобразования, каждый масштаб в объекте обратно пропорционален соответствующему масштабу в его спектре.

Из рис. 3.9 также видно, что картина дифракции на периодической структуре содержит в интерференционном члене $F_N(\varphi)$ информацию о параметрах этой структуры. В частности, *период* структуры d можно найти из углового расстояния между соседними главными максимумами: $d = \lambda / \delta(\sin \varphi)_d$. *Количество элементов* структуры N связано с числом минимумов между соседними главными максимумами. Действительно, направления на минимумы φ_n находятся из условия обращения в нуль числителя при ненулевом знаменателе, т.е. $Nkd \sin \varphi_n = 2\pi n$, но при этом необходимо обеспечить условие, чтобы $kd \sin \varphi_p \neq 2\pi p$ ($n, p = 0, 1, \pm 2, \dots$). Отсюда получим $n = 1, 2, \dots, N - 1$. Для случая, когда $\lambda/d > 1$, в дифракционной картине остается единственный (нулевой) главный максимум, и она теряет информацию о структуре объекта. Этот случай соответствует переходу от дифракции на объекте с периодической структурой (т.е., фактически, многолучевой интерференции) к дифракции на объекте, как целом.

Рассмотрим этот переход подробнее. Определим нормировочный множитель, полагая амплитуду поля, падающего на всю решетку, равной единице, тогда $A_0 = 1/N$. Зафиксируем размер дифракционной решетки D , и будем увеличивать число штрихов N , т.е. уменьшать период d . Тогда при достаточно

большом N выполняется неравенство $d/\lambda = kD/2\pi N \ll 1$, и интерференционный множитель F_N преобразуется к виду:

$$F_N(\varphi) = \left[\frac{\sin\left(\frac{1}{2}kD \sin\varphi\right)}{\sin\left(\frac{1}{2}k\frac{D}{N} \sin\varphi\right)} \right]^2 \approx A_0^2 \left[\frac{\sin\left(\frac{1}{2}kD \sin\varphi\right)}{\frac{kD}{2} \sin\varphi} \right]^2 = \quad (3.12')$$

$$= \left[\operatorname{sinc}\left(\frac{1}{2}kD \sin\varphi\right) \right]^2$$

Это выражение аналогично формуле (3.11) и описывает картину дифракции на «штрихе» шириной D .